

ТЕЧЕНИЕ ВЯЗКОГО ГАЗА МЕЖДУ ДВУМЯ ДВИЖУЩИМИСЯ ПАРАЛЛЕЛЬНЫМИ ПЛОСКИМИ СТЕНКАМИ И МЕЖДУ ДВУМЯ ВРАЩАЮЩИМИСЯ ЦИЛИНДРАМИ

Г. Л. Гродзовский

(Жуковский)

При изучении течений вязкого газа особый интерес представляют случаи, когда можно точно проинтегрировать движение вязкого газа. В гидромеханике несжимаемой жидкости известно точное решение задачи о течении вязкой несжимаемой жидкости между двумя движущимися плоскими стенками и между двумя вращающимися цилиндрами [1, 2]. Ниже дано с сообщение задачи для вязкого сжимаемого газа.

Рассмотрим сначала стационарное течение вязкого газа между двумя движущимися бесконечными параллельными плоскими стенками. Это течение эквивалентно течению газа в зазоре между двумя вращающимися соосными цилиндрами при малом зазоре между цилиндрами по сравнению с радиусами цилиндров. Будем рассматривать только относительное движение одной из стенок относительно неподвижной другой стенки; переносное движение обеих стенок, естественно, не влияет на решение задачи. Примем для определенности, что неподвижная стенка нетеплопроводна и температура газа у нее T_0 ; теплопередача через вторую (движущуюся) стенку и температура газа у нее T_h должны определиться из решения задачи при заданных значениях скорости перемещения второй стенки u_h и расстояния между стенками $y = h$ (фиг. 1).

Мы рассматриваем случай, когда течение газа в зазоре между движущимися бесконечными параллельными плоскими стенками определяется только вязкими силами за счет движений самих стенок, т. е. продольный градиент давления dp/dx отсутствует. При таком течении распределение параметров газа в различных сечениях по X будут подобными, поверхности тока являются плоскостями $y = \text{const}$, и все параметры течения (продольная скорость u , температура T , плотность ρ) являются функциями только одной координаты y . Соответственно уравнение движения и уравнение притока тепла запишутся в виде

$$\mu \frac{du}{dy} = \tau_0 = \text{const} \quad (1)$$

$$\frac{d}{dy} \left(k \frac{dT}{dy} \right) + \frac{\mu}{J} \left(\frac{du}{dy} \right)^2 = 0 \quad (2)$$

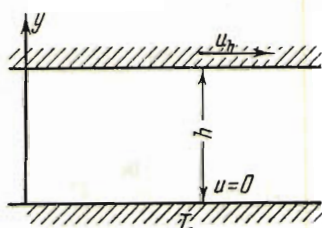
где μ — коэффициент вязкости, k — коэффициент теплопроводности, J — механический эквивалент тепла, τ_0 — напряжение трения на стенке.

Подстановкой выражения для dJ/dy из уравнения (1) в (2) получим следующее дифференциальное уравнение для определения профиля температуры

$$\frac{d}{dy} \left(k \frac{dT}{dy} \right) + \frac{\tau_0^2}{J\mu} = 0 \quad (3)$$

В уравнение (3) входят коэффициенты k и μ , которые зависят от температуры. Для газа эта зависимость определяется известными соотношениями

$$k = k_0 \left(\frac{T}{T_0} \right)^{0.76}, \quad \mu = \mu_0 \left(\frac{T}{T_0} \right)^{0.76}$$



Фиг. 1

с учетом которых уравнение (3) перепишется в виде

$$T^\circ \frac{d^2 T^\circ}{dy^\circ 2} + 0.76 \left(\frac{dT^\circ}{dy^\circ} \right)^2 + \frac{2P}{T^\circ 0.52} = 0 \quad \left(T^\circ = \frac{T}{T_0}, y^\circ = \frac{y}{\tau_0 \sqrt{2gJc_p T_0}} \right) \quad (4)$$

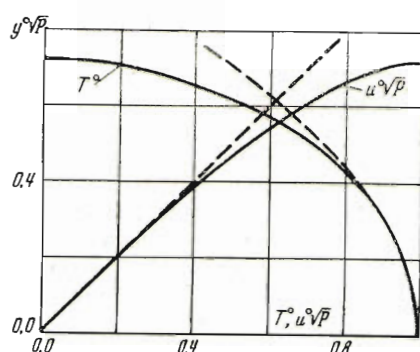
безразмерные значения температуры и расстояние до неподвижной стенки, $P = g \mu c_p / k$ — число Прандтля, которое для газа можно принять не зависящим от температуры.

Решение уравнения (4) при указанных выше начальных условиях на неподвижной стенке (при $y^\circ = 0$, $dT^\circ / dy^\circ = 0$, $T^\circ = 1.0$) запишется в виде

$$y^\circ \sqrt{P} = \int_{1.0}^{T^\circ} \frac{dT^\circ}{2 \sqrt{T^\circ - 1.52}} \quad (5)$$

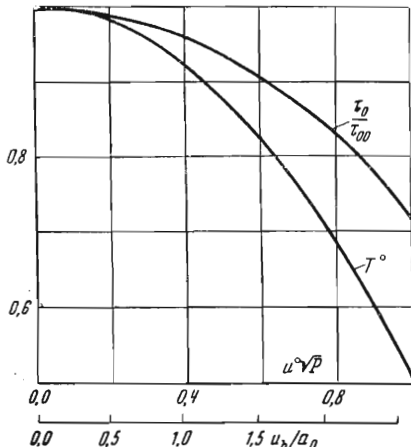
Интеграл в правой части уравнения (5) вычисляется графически или при помощи рядов. Результатирующая кривая $T^\circ = F(y^\circ \sqrt{P})$ приведена на фиг. 2. Там же для сравнения пунктирной линией приведены результаты решения при постоянном значении коэффициентов теплопроводности и вязкости:

$$y^\circ \sqrt{P} = \sqrt{1 - T^\circ} \quad (5')$$



Фиг. 2

Найденное распределение температуры T позволяет при помощи уравнения (1) определить профиль скорости:



Фиг. 3

они определяют как профиль скоростей и температур в вязком газе между двумя движущимися стенками, так и разность температур и скоростей самих стенок (при $y = h$, $u^o = u_h^o$, $T^\circ = T_h^\circ$). Отношение температур газа у стенок T_h° в зависимости от $u_h^o \sqrt{P}$ приведено на фиг. 3; при этом одно деление по оси ординат для T° равно 0.2. Аналогично по данным фиг. 2 и 3 можно получить решение и для случая, когда обе стени теплопроводны при заданном потоке тепла через одну из стенок¹.

¹ Например, если теплопроводность обеих стенок одинакова, то профиль температуры будет симметричен с максимумом в центре течения между стенками. Данные фиг. 2 и 3 определяют при этом параметры потока от оси симметрии до одной из стенок.

являются универсальными для плоской задачи с одной теплоизолированной стенкой:

Полученное решение позволяет определить влияние сжимаемости на величину напряжения трения на стенках τ_0 . При заданных значениях разности скоростей стенок u_h и температуры газа у нетеплопроводной стенки T_0 отношение напряжения трения на стенках τ_0 к напряжению трения в несжимаемом газе τ_{00} определяется уравнением

$$\frac{\tau_{00}}{\tau_0} = \frac{\Phi(h^\circ V \bar{P})}{h^\circ V \bar{P}}$$

Изменение τ_0 / τ_{00} в зависимости от $u_h^\circ V \bar{P}$ приведено на фиг. 3, где на оси ординат слева указана шкала для этих кривых, там же дана вторая шкала разметки скоростей по параметру u_h / a_0 , где $a_0 = V(x-1)gJc_pT_0$ — скорость звука в газе вблизи неподвижной стенки. Данные фиг. 3 определяют уменьшение напряжения трения на стенках вследствие влияния сжимаемости.

Полученное точное решение задачи о течении вязкого сжимаемого газа между двумя движущимися параллельными плоскими стенками определяет все искомые параметры течения. Результирующие кривые фиг. 2 показывают, что при умеренном изменении температуры газа ($T^\circ \approx 0.7 - 0.8$) практически можно пользоваться по постоянными значениями коэффициентов вязкости и теплопроводности (ср. сплошные и пунктирные кривые на фиг. 2), что может быть использовано для приближенного решения более сложных задач. В качестве примера рассмотрим стационарное течение вязкого газа между двумя соосными цилиндрами r_1 и r_2 (фиг. 4), вращающимися с постоянными угловыми скоростями ω_1 и ω_2 . Такое стационарное движение должно происходить по концентрическим окружностям, параметры потока будут зависеть только от радиуса r . В цилиндрических координатах уравнения движения при постоянном значении коэффициента вязкости записываются в виде

$$\frac{d^2u}{dr^2} + \frac{1}{r} \frac{du}{dr} - \frac{u}{r^2} = 0 \quad (7)$$

$$\frac{1}{\rho} \frac{dp}{dr} = \frac{u^2}{r} \quad (8)$$

Уравнения (7) и (8) совпадают с уравнениями движения вязкой несжимаемой жидкости между двумя вращающимися цилиндрами [1], отличие заключается в переменной плотности ρ в уравнении (8).

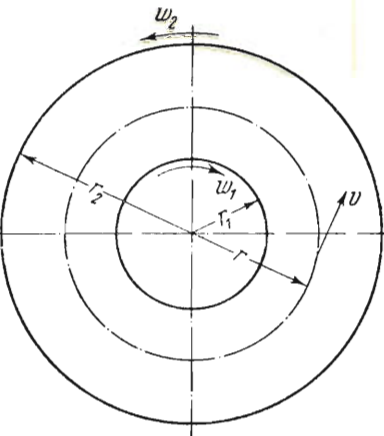
В уравнение (7), определяющее профиль скорости, плотность не входит, поэтому профиль скорости в газе (при $\mu = \text{const}$) определяется такой же формулой, как и в случае несжимаемого газа:

$$u = Ar + \frac{B}{r} = \frac{\omega_2 r_2^2 - \omega_1 r_1^2}{r_2^2 - r_1^2} r + \frac{1}{r} \frac{(\omega_1 - \omega_2) r_1^2 r_2^2}{r_2^2 - r_1^2} \quad (9)$$

Влияние сжимаемости проявится на распределении плотности, температуры и давления между вращающимися цилиндрами. Для определения профиля температуры T обратимся к уравнению притока тепла, которое с учетом уравнения (9) при постоянных значениях μ и k записывается в виде

$$\frac{d^2T}{dr^2} + \frac{1}{r} \frac{dT}{dr} + 4 \frac{P}{gJc_p} \frac{B^2}{r^3} = 0 \quad (10)$$

Как и выше, считаем один из цилиндров радиуса r_1 нетеплопроводным с температурой газа у поверхности T_1 .



Фиг. 4.

Тогда решение уравнения (10) запишется в виде

$$T^\circ = 1 - \frac{2P u_{r_1}^{\circ 2}}{(1 - r_1^2/r_2^2)} \left(2 \ln \frac{r}{r_1} + \frac{r_1^2}{r^2} - 1 \right) \quad (11)$$

где

$$T^\circ = \frac{T}{T_1}, \quad u_{r_1}^\circ = \frac{(\omega_1 - \omega_2) r_1}{\sqrt{2gJc_p T_1}}$$

относительная окружная скорость первого цилиндра. Соотношение (11), не учитывающее изменение μ и k с температурой, следует рассматривать как формулу первого приближения, практическое использование которой допустимо в диапазоне до $T^\circ \approx 0.7 \div 0.8$. При больших изменениях температуры следует точно решать задачу, как это сделано выше для плоского случая.

На фиг. 5 приведен пример расчета распределения температуры по формуле (10) при отношении радиусов $r_2/r_1 = 2.0$. Сопоставление данных фиг. 3 и 5 показывает, что при одинаковых значениях $u^\circ \sqrt{P}$ в оссимметричном случае имеет место большая разность температур стенок, чем в плоском случае.